



БИООРГАНИЧЕСКАЯ ХИМИЯ

том 12 * № 2 * 1986

УДК 577.152.361*1.042:577.112.4

ФОСФОРИЛИРОВАНИЕ КАК СПОСОБ РЕГУЛЯЦИИ АКТИВНОСТИ НЕОРГАНИЧЕСКОЙ ПИРОФОСФАТАЗЫ *E. coli*

I. ФОСФОРИЛИРОВАНИЕ И АКТИВАЦИЯ ФЕРМЕНТА ПОД ДЕЙСТВИЕМ АТР

*Венер А. В., Ищетовкина Л. Е., Назарова Т. И.,
Аваева С. М.*

Московский государственный университет им. М. В. Ломоносова,
Межфакультетская проблемная научно-исследовательская лаборатория
молекулярной биологии и биоорганической химии
им. А. Н. Белозерского

АТР фосфорилирует регуляторный центр неорганической пирофосфатазы *E. coli*, что приводит к увеличению активности фермента в 1,5 раза. Максимальное включение γ -фосфатной группы АТР в пирофосфатазу составляет 3 моль на 1 моль белка. Ортофосфат также фосфорилирует регуляторный центр фермента, вызывая снижение активности пирофосфатазы на 10–15%. Процессы фосфорилирования под действием АТР и ортофосфата взаимосвязаны: АТР препятствует фосфорилированию неорганической пирофосфатазы *E. coli* под действием ортофосфата и приводит к быстрому дефосфорилированию белка, предварительно модифицированного ортофосфатом.

Недавно нами было установлено, что АТР фосфорилирует регуляторный центр неорганической пирофосфатазы (КФ 3.6.1.1) пекарских дрожжей, в результате чего активность фермента возрастает в 2 раза [1]. Ортофосфат (P_i) также фосфорилирует регуляторный центр этой пирофосфатазы, но каталитическая активность фермента при этом не меняется [2]. АТР и P_i конкурируют в реакции фосфорилирования неорганической пирофосфатазы дрожжей [3]. Обнаруженный эффект активации фермента наблюдается при концентрациях АТР, соответствующих концентрациям его *in vivo*. Поэтому было высказано предположение, что АТР (предшественник пирофосфата во многих реакциях биосинтеза) выступает в клетке как эффектор неорганической пирофосфатазы, а P_i , являющийся продуктом ферментативной реакции, способен подавлять активирующее действие АТР и, вероятно, также может участвовать в регуляции активности этого фермента [3]. Однако обнаруженный путь регуляции был предложен пока только для одного представителя класса пирофосфатаз — фермента из пекарских дрожжей, и оставалось неясным, возможна ли такая регуляция для других ферментов этого класса. Целью настоящей работы было изучение взаимодействия неорганической пирофосфатазы *E. coli* с АТР, а также с P_i .

Неорганическая пирофосфатаза *E. coli* состоит из шести идентичных субъединиц с молекулярной массой 20 кДа [4], обладающих каталитической активностью [5]. Как и другие ферменты этого класса, пирофосфатаза *E. coli* способна катализировать гидролиз пирофосфата только в присутствии катионов некоторых двухвалентных металлов, наиболее эффективными из которых являются Mg^{2+} и Zn^{2+} [6]. Катионы Ca^{2+} ингибируют ферментативную активность [7]. Каждая субъединица пирофосфатазы помимо активного содержит и регуляторный центр. Связывание в регуляторном центре пирофосфата хрома(III) или имидодифосфата приводит к увеличению активности фермента [8]. Неорганическая пирофосфатаза *E. coli* в присутствии катионов Mg^{2+} может взаимодействовать с P_i , в результате чего происходит включение до 3 моль фосфата на 1 моль белка,

т. е. фосфорилируется половина от общего количества субъединиц фермента [8]. Однако не было известно, по какому центру идет фосфорилирование, по активному или регуляторному, и влияет ли оно на ферментативную активность.

Взаимодействие неорганической пирофосфатазы *E. coli* с АТР изучали путем инкубирования фермента в присутствии $MgCl_2$ с $[U-^{14}C]ATP$ или с $[\gamma-^{32}P]ATP$ и последующего отделения белка от избытка низкомолекулярных соединений гель-фильтрацией. При использовании $[U-^{14}C]ATP$ связывания метки с ферментом обнаружено не было. В экспериментах с $[\gamma-^{32}P]ATP$, напротив, было установлено включение метки в белок (рис. 1). Максимальное включение γ -фосфатной группы АТР достигало почти 3 моль на 1 моль фермента при концентрациях АТР, больших 6 мМ. Удельная активность пирофосфатазы, содержащей три остатка фосфата, была в 1,5 раза выше, чем активность фермента в контрольных экспериментах в отсутствие АТР. Чтобы ответить на вопрос, какой центр фермента вступает в реакцию с АТР, к фосфорилированной под действием $[\gamma-^{32}P]ATP$ пирофосфатазе добавляли $MgCl_2$ и $Na_4P_2O_7$ до концентрации 2 и 1 мМ соответственно. После протекания нескольких сотен каталитических актов (о чём судили по глубине превращения субстрата) проводили гель-фильтрацию и определяли содержание радиоактивного фосфата в ферменте. Заметного дефосфорилирования белка обнаружено не было. Устойчивость связи фосфата с ферментом в процессе катализа указывает на то, что АТР фосфорилирует не активный, а регуляторный центр фермента, и этот процесс приводит к возрастанию удельной активности пирофосфатазы.

Изучение влияния катионов-эффекторов фермента на фосфорилирование неорганической пирофосфатазы *E. coli* под действием АТР позволило установить следующее. В отсутствие двухвалентных катионов включение фосфатной группы не превышало 0,4 моль на 1 моль белка при концентрации АТР, равной 6 мМ. Добавление в реакционную смесь соли магния приводило к увеличению степени фосфорилирования пирофосфатазы (рис. 2). Фосфорилирование достигало максимальной величины при концентрации свободной формы Mg^{2+} , большей 2–3 мМ. Катионы Zn^{2+} являлись менее эффективными активаторами реакции фосфорилирования. В присутствии 0,1–5 мМ Zn^{2+} и 4 мМ АТР включение фосфатной группы в молекулу фермента было примерно в 2 раза ниже, чем в экспериментах с такими же концентрациями Mg^{2+} и АТР. $CaCl_2$ в концентрациях 1–10 мМ не приводил к активации фосфорилирования пирофосфатазы под действием АТР: включение фосфата в фермент не превышало 0,5 моль на 1 моль белка даже при концентрации АТР, равной 8 мМ. Из этой части работы видно, что по влиянию двухвалентных катионов на процесс фосфорилирования под действием АТР неорганическая пирофосфатаза *E. coli* отличается от неорганической пирофосфатазы дрожжей: в первом случае фосфорилирование в некоторой степени идёт и в отсутствие катионов двухвалентных металлов, а во втором – катионы Mg^{2+} или Zn^{2+} абсолютно необходимы для протекания реакции.

Как отмечалось выше, до настоящего времени не было известно, с каким центром неорганической пирофосфатазы взаимодействует P_i и влияет ли этот процесс на ферментативную активность. В настоящей работе установлено, что удельная активность неорганической пирофосфатазы *E. coli*, содержащей после взаимодействия с P_i в присутствии Mg^{2+} ~3 моль фосфата на 1 моль белка, на 10–15 % ниже активности нативного фермента. Добавление к фосфорилированной под действием $^{32}P_i$ пирофосфатазе $MgCl_2$ и $Na_4P_2O_7$ не приводило к дефосфорилированию белка. Таким образом, устойчивость связи фосфата с ферментом в процессе протекания ферментативной реакции указывает на то, что в реакции пирофосфатазы с P_i , так же как и в реакции с АТР, происходит фосфорилирование центра фермента, отличного от активного.

Фосфорилирование неорганической пирофосфатазы *E. coli* под действием АТР и P_i в значительной степени зависит от рН реакционной среды (рис. 3). Явное различие кривых, отражающих эту зависимость, для двух

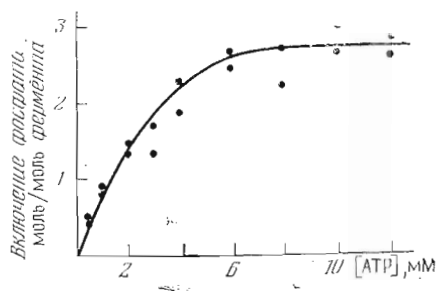


Рис. 1

Рис. 1. Зависимость степени фосфорилирования неорганической пирофосфатазы от концентрации АТР. Концентрация свободной формы Mg^{2+} 1 мМ

Рис. 2. Зависимость степени фосфорилирования неорганической пирофосфатазы под действием 2 мМ АТР от концентрации $MgCl_2$

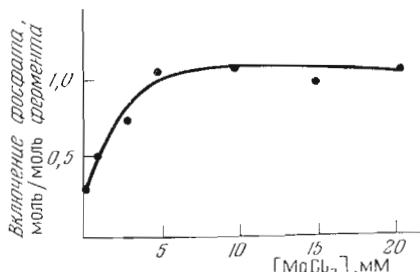


Рис. 2

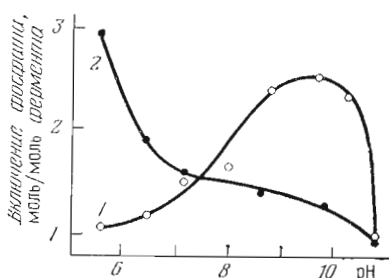


Рис. 3

Рис. 3. Зависимость степени фосфорилирования неорганической пирофосфатазы от рН реакционной среды: 1 – фосфорилирование под действием 4 мМ АТР в присутствии 5 мМ $MgCl_2$ в течение 5 мин; 2 – фосфорилирование под действием 40 мМ P_i в присутствии 4 мМ $MgCl_2$ в течение 20 мин

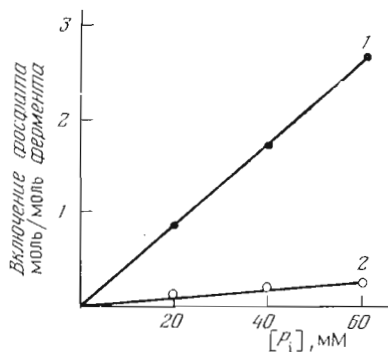


Рис. 4

Рис. 4. Фосфорилирование неорганической пирофосфатазы под действием P_i в отсутствие (1) и в присутствии 7 мМ АТР (2). Концентрация свободной формы Mg^{2+} 1 мМ

фосфорилирующих агентов (рис. 3, 1, 2) позволило предположить, что АТР и P_i взаимодействуют с разными аминокислотными остатками фермента. Последующее изучение свойств двух фосфорилированных ферментов показало, что в реакцию с P_i вступает остаток дикарбоновой аминокислоты фермента и образуется ацилфосфатная связь, а в реакцию с АТР – остаток гистидина с обрыванием фосфоамидной связи [9].

Процессы фосфорилирования неорганической пирофосфатазы под действием АТР и ортофосфата взаимосвязаны. В присутствии АТР значительно снижается степень фосфорилирования белка под действием P_i (рис. 4). С другой стороны, добавление АТР к модифицированному ферменту, содержащему 3 моль фосфата на 1 моль белка как результат реакции с $^{32}P_i$, приводит к быстрому дефосфорилированию пирофосфатазы (рис. 5).

Таким образом, при изучении взаимодействия неорганической пирофосфатазы *E. coli* с АТР и P_i выявлено значительное сходство этого фермента и исследованной ранее пирофосфатазы пекарских дрожжей [1, 3]. Во-первых, в обоих ферментах фосфорилирование проходит по регуляторному центру, причем заполняется только половина таких центров на ферменте: в случае пирофосфатазы дрожжей – один из двух, в случае пирофосфатазы *E. coli* – три из шести. Во-вторых, взаимодействие с АТР приводит к увеличению ферментативной активности. И наконец, для обоих ферментов показана взаимосвязь реакций фосфорилирования под действием АТР и P_i . Различия в свойствах этих ферментов менее существенны и состоят в том, что АТР активирует пирофосфатазу дрожжей в большей степени (в 2 раза), чем пирофосфатазу *E. coli*, а P_i не изменяет

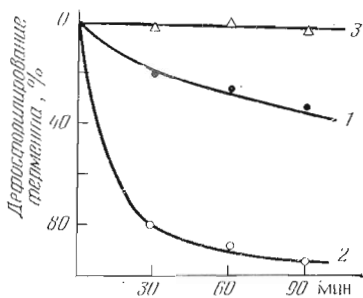


Рис. 5. Дефосфорилирование неорганической пироfosфатазы, фосфорилированной под действием P_i , при инкубации в 0,1 М трис-HCl-буфере, pH 7,2, в присутствии 10 мМ $MgCl_2$ (1), 7 мМ АТР и 10 мМ $MgCl_2$ (2) и в отсутствие добавок (3).

активность пироfosфатазы дрожжей, хотя несколько снижает активность пироfosфатазы *E. coli*. Принципиальное сходство в регуляции активности двух изученных ферментов под влиянием АТР и P_i позволяет предположить, что эти метаболиты могут являться регуляторами пироfosфатаз и из других источников.

Экспериментальная часть

В работе использовали 3-циклогексиламинопропансульфоновую кислоту CAPS, трис-фосфат, $Na_4P_2O_7 \cdot 10H_2O$ (Sigma Chemical Co., США), N-морфолино-2-этансульфоновую кислоту (MES) и АТР фирмы Reanal (Венгрия), кумасси голубой марки G (Serva, ФРГ). Остальные реагенты были отечественного производства марки ос.ч. и х.ч. ^{32}P -Меченая ортоfosфорная кислота без носителя и $[\gamma-^{32}P]ATP$ марки ос.ч. с уд.акт. >37 ПБк/моль – препараты отечественного производства, $[U-^{14}C]ATP$ (16,9 ТБк/моль) получен из Института по изучению и использованию радиоактивных препаратов (Прага, ЧССР). Трис перекристаллизовывали из этанола, АТР – из водного этанола [10].

Неорганическую пироfosфатазу выделяли из штамма *E. coli* MRE-600 по методу Джосса [4]. Концентрацию растворов белка определяли спектрофотометрически при 280 нм, используя величины $E_{280}^{0.1\%}=1,18$ [6] и $M_r=120\ 000$ [4, 6], и с помощью красителя кумасси [11]. Активность фермента определяли по гидролизу $Na_4P_2O_7$ в смеси, содержащей 1 мМ $Na_4P_2O_7$ и 5 мМ $MgCl_2$ в 0,1 М трис-HCl-буфере, pH 8,8, при 25° С, на автоматическом анализаторе фосфата [12]. Содержание ^{32}P в образцах определяли по Черепкову, а ^{14}C – в диоксановом сцинтилляторе с использованием жидкостно-сцинтилляционных счетчиков LKB (Швеция) или Delta (США).

Получение фосфорилированного фермента. Стандартные реакционные смеси объемом 100 мкл содержали 0,1 М трис-HCl-буфер (pH 7,2), 20–40 мкг фермента, 1–20 мМ $MgCl_2$, $ZnCl_2$ или $CaCl_2$ и 20–60 мМ $NaH_2[^{32}P]O_4$, или 0,5–12 мМ $[\gamma-^{32}P]ATP$, или $[U-^{14}C]ATP$. Удельная радиоактивность меченых соединений составляла 10 000–30 000 расп./мин·нмоль. Смесь инкубировали 20 мин при 20° С с NaH_2PO_4 или 3–7 мин с АТР и отделяли избыток низкомолекулярных соединений гель-фильтрацией с центрифугированием [1]; в элюате определяли концентрацию белка с помощью красителя кумасси, активность фермента и содержание радиоактивной метки. В контрольных экспериментах реакционная смесь не содержала либо белка, либо P_i (АТР). Содержание ^{32}P в элюатах контрольных опытов не превышало 10% от количества ^{32}P , связанного с ферментом в элюатах основных опытов. При изучении зависимости фосфорилирования фермента от pH реакционной среды использовали следующие 0,1 М буфера: MES-NaOH, pH 5,6; 6,5; трис-HCl, pH 7,2; 8,0; 8,6; CAPS-NaOH, pH 9,8; 10,4; 11,0.

Изучение дефосфорилирования фермента. Полученный, как указано выше, меченный фосфорилированный белок выдерживали в 0,1 М трис-HCl-буфере, pH 7,2, в присутствии либо 2 мМ $MgCl_2$ и 1 мМ $Na_4P_2O_7$, либо 10 мМ $MgCl_2$, либо 10 мМ $MgCl_2$ и 7 мМ АТР, либо в отсутствие добавок. Через определенные промежутки времени проводили гель-фильтрацию аликов реакционных смесей и определяли в элюате содержание белка и связанной с ним радиоактивной метки.

ЛИТЕРАТУРА

1. Венер А. В., Назарова Т. И., Аваева С. М. Биоорган. химия, 1985, т. 11, № 6, с. 784–790.
2. Бакулесва Н. П., Костенко Е. Б., Байков А. А., Аваева С. М. Биохимия, 1981, т. 46, № 5, с. 832–840.
3. Венер А. В., Назарова Т. И., Аваева С. М. Биоорганическая химия, 1985, т. 11, № 6, с. 791–796.
4. Wong S. C. K., Hall D. C., Josse J. J. Biol. Chem., 1970, v. 254, № 17, p. 4335–4345.
5. Borschik I. B., Pestova T. V., Sklyankina V. A., Avaeva S. M. FEBS Lett., 1985, v. 184, № 1, p. 65–69.
6. Josse J. J. Biol. Chem., 1966, v. 241, № 9, p. 1938–1947.
7. Курилова С. А., Назарова Т. И., Аваева С. М. Биоорганическая химия, 1983, т. 9, № 8, с. 1032–1039.
8. Курилова С. А., Назарова Т. И., Аваева С. М. Биоорганическая химия, 1984, т. 10, № 10, с. 1336–1341.
9. Венер А. В., Ичетовкина Л. Е., Комиссаров А. А., Назарова Т. И., Аваева С. М. Биоорганическая химия, 1986, т. 12, № 2, с. 200–205.
10. Berger Z. Biochim. et biophys. acta, 1956, v. 20, № 1, p. 23–26.
11. Bradford M. M. Anal. Biochem., 1976, v. 72, № 1, p. 248–254.
12. Baykov A. A., Avaeva S. M. Anal. Biochem., 1981, v. 116, № 1, p. 1–4.

Поступила в редакцию
16.VII.1985

PHOSPHORYLATION AS A MEANS OF REGULATING THE ACTIVITY OF *E. COLI* INORGANIC PYROPHOSPHATASE

I. ATP-INDUCED PHOSPHORYLATION AND ACTIVATION OF THE ENZYME

VENER A. V., ICHETOVKINA L. E., NAZAROVA T. I., AVAEVA S. M.

A. N. Belozersky Laboratory of Molecular Biology and Bioorganic Chemistry, M. V. Lomonosov Moscow State University, Moscow

ATP phosphorylates the regulatory center of *E. coli* inorganic pyrophosphatase with the resultant 1.5-fold increase in the activity of the enzyme. The maximal incorporation of the ATP γ -group into pyrophosphatase is 3 moles per mole of the protein. P_i likewise phosphorylates the enzyme regulatory center and lowers the pyrophosphatase activity by 10–15%. The ATP- and P_i -mediated phosphorylation processes are interrelated; ATP prevents phosphorylation by P_i and brings about rapid dephosphorylation of P_i -modified protein.